

**SISTEM KLASIFIKASI KANKER KULIT BERDASARKAN DATA CITRA
DERMOSCOPIC DENGAN MENGGUNAKAN METODE *DEEP EXTREME
LEARNING MACHINE***

SKRIPSI



**UIN SUNAN AMPEL
S U R A B A Y A**

Disusun Oleh
AHMAD ZOEBAF FOEADY
H72216048

**PROGRAM STUDI MATEMATIKA
FAKULTAS SAINS DAN TEKNOLOGI
UNIVERSITAS ISLAM NEGERI SUNAN AMPEL
SURABAYA**

2019

PERNYATAAN KEASLIAN

Saya yang bertanda tangan di bawah ini,

Nama : Ahmad Zoebad Foeady

NIM : H72216048

Program Studi : Matematika

Angkatan : 2016

Menyatakan bahwa saya tidak melakukan plagiat dalam penulisan skripsi saya yang berjudul " Sistem Klasifikasi Kanker Kulit Berdasarkan Data Citra *Dermoscopic* dengan Menggunakan Metode *Deep Extreme Learning Machine* ". Apabila suatu saat nanti terbukti saya melakukan tindakan plagiat, maka saya bersedia menerima sanksi yang telah ditetapkan.

Demikian pernyataan keaslian ini saya buat dengan sebenar-benarnya.

Surabaya, Desember 2019

Yang menyatakan,



Ahmad Zoebad Foeady

NIM. H72216048

LEMBAR PERSETUJUAN PEMBIMBING

Skripsi oleh

Nama : Ahmad Zoebad Foeady

NIM : H72216048

Judul Skripsi : Sistem Klasifikasi Kanker Kulit Berdasarkan Data Citra
Dermoscopic dengan Menggunakan Metode *Deep Extreme*
Learning Machine

telah diperiksa dan disetujui untuk diujikan.

Surabaya, Desember 2019

Pembimbing



Dian C. Rini Novitasari, M.Kom
NIP. 198511242014032001

PENGESAHAN TIM PENGUJI SKRIPSI

Skripsi oleh

Nama : Ahmad Zoebad Foeady
NIM : H72216048
Judul Skripsi : Sistem Klasifikasi Kanker Kulit Berdasarkan Data Citra
Dermoscopic dengan Menggunakan Metode *Deep Extreme Learning Machine*

Telah dipertahankan di depan Tim Penguji
pada tanggal Desember 2019

Mengesahkan,
Tim Penguji

Penguji I

Dian C. Rini Novitasari, M.Kom
NIP. 198511242014032001

Penguji II

Aris Fanani, M.Kom
NIP. 198701272014031002

Penguji III

Wika Dianita Utami, M.Sc
NIP. 199206102018012003

Penguji IV

Nurissaidah Ulinnuha, M.Kom
NIP. 1999011022014032004

Mengetahui,

Dekan Fakultas Sains dan Teknologi
UN Sunan Ampel Surabaya





KEMENTERIAN AGAMA
UNIVERSITAS ISLAM NEGERI SUNAN AMPEL SURABAYA
PERPUSTAKAAN

Jl. Jend. A. Yani 117 Surabaya 60237 Telp. 031-8431972 Fax.031-8413300
E-Mail: perpus@uinsby.ac.id

LEMBAR PERNYATAAN PERSETUJUAN PUBLIKASI
KARYA ILMIAH UNTUK KEPENTINGAN AKADEMIS

Sebagai sivitas akademika UIN Sunan Ampel Surabaya, yang bertanda tangan di bawah ini, saya:

Nama : AHMAD ZOEBAD FOEADY
NIM : H7216048
Fakultas/Jurusan : SAINTEK / MATEMATIKA
E-mail address : DEDDY ZOEBAD 711 @ GMAIL.COM

Demi pengembangan ilmu pengetahuan, menyetujui untuk memberikan kepada Perpustakaan UIN Sunan Ampel Surabaya, Hak Bebas Royalti Non-Eksklusif atas karya ilmiah :

Skripsi Tesis Desertasi Lain-lain (.....)

yang berjudul :

SISTEM KLASIFIKASI KANKER KULIT BERDASARKAN DATA CITRA
DERMOSCOPIC DENGAN MENGGUNAKAN METODE DEEP EXTREME
LEARNING MACHINE

beserta perangkat yang diperlukan (bila ada). Dengan Hak Bebas Royalti Non-Eksklusif ini Perpustakaan UIN Sunan Ampel Surabaya berhak menyimpan, mengalih-media/format-kan, mengelolanya dalam bentuk pangkalan data (database), mendistribusikannya, dan menampilkan/mempublikasikannya di Internet atau media lain secara *fulltext* untuk kepentingan akademis tanpa perlu meminta ijin dari saya selama tetap mencantumkan nama saya sebagai penulis/pencipta dan atau penerbit yang bersangkutan.

Saya bersedia untuk menanggung secara pribadi, tanpa melibatkan pihak Perpustakaan UIN Sunan Ampel Surabaya, segala bentuk tuntutan hukum yang timbul atas pelanggaran Hak Cipta dalam karya ilmiah saya ini.

Demikian pernyataan ini yang saya buat dengan sebenarnya.

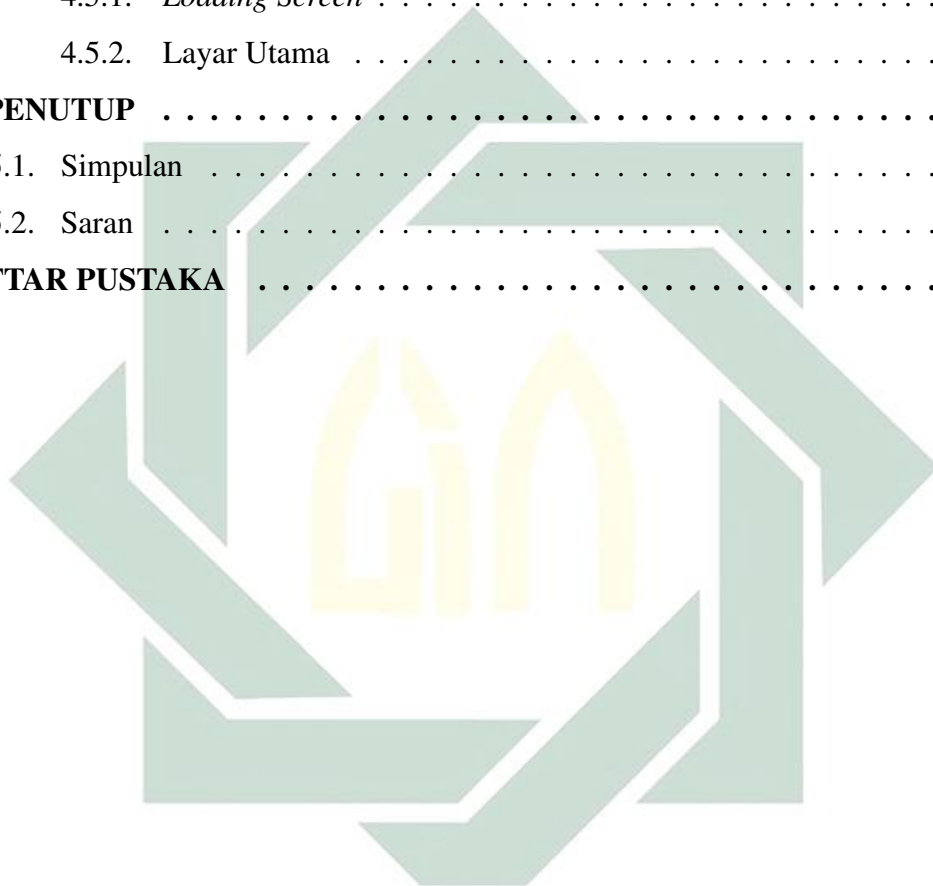
Surabaya,

Penulis

(AHMAD ZOEBAD FOEADY)
nama terang dan tanda tangan

2.7. <i>Median Filter</i>	23
2.8. <i>Histogram Equalization</i>	24
2.9. <i>Histogram of Oriented Gradient (HOG) Descriptor</i>	25
2.10. <i>Extreme Learning Machine(ELM)</i>	28
2.10.1. <i>Feedforward Algorithm</i>	29
2.10.2. <i>Single Hidden Layer Feedforward Neural Network(SLFNs)</i>	31
2.10.3. <i>Algoritma ELM</i>	34
2.10.4. <i>Struktur Jaringan Syaraf Tiruan ELM</i>	34
2.11. <i>Modified ELM</i>	35
2.11.1. <i>Kernel Extreme Learning Machine(KELM)</i>	35
2.11.2. <i>Extreme Learning Machine Auto Encoder(ELM-AE)</i>	38
2.11.3. <i>Multilayer Extreme Learning Machine(MLELM)</i>	43
2.12. <i>Deep Extreme Learning Machine (DELM)</i>	46
2.13. <i>Confusion Matrix</i>	49
III METODE PENELITIAN	52
3.1. <i>Jenis Penelitian</i>	52
3.2. <i>Jenis Dan Sumber Data</i>	52
3.3. <i>Rancangan Penelitian</i>	53
IV HASIL DAN PEMBAHASAN	57
4.1. <i>Pre-processing Citra</i>	57
4.1.1. <i>Dull Razor Filtering</i>	59
4.1.2. <i>Grayscale Image</i>	72
4.1.3. <i>Median Filtering</i>	75
4.1.4. <i>Histogram Equalization</i>	77
4.2. <i>HOG Descriptor</i>	82
4.3. <i>Deep Extreme Learning Machine</i>	93
4.3.1. <i>Mendapatkan Learned Parameter</i>	94
4.3.2. <i>K-Fold Cross Validation</i>	100
4.3.3. <i>Proses Training</i>	102
4.3.4. <i>Proses Testing</i>	105

4.4. Evaluasi dan Validasi Model	106
4.4.1. Hasil Evaluasi $n_i > n_h$	108
4.4.2. Hasil Evaluasi $n_i = n_h$	110
4.4.3. Hasil Evaluasi $n_i < n_h$	111
4.5. Tampilan Aplikasi	113
4.5.1. <i>Loading Screen</i>	113
4.5.2. Layar Utama	114
V PENUTUP	117
5.1. Simpulan	117
5.2. Saran	118
DAFTAR PUSTAKA	119



4.4	(a) Original Image (b) Hasil Dilasi 180°	61
4.5	Sampel Hasil Akhir Dilasi 180°	62
4.6	(a) Original Image (b) Hasil Dilasi 90°	63
4.7	Sampel Hasil Akhir Dilasi 90°	64
4.8	(a) Original image (b) Hasil Erosi 180°	65
4.9	Sampel Hasil Akhir Erosi 180°	65
4.10	(a) Original Image (b) Hasil Erosi 90°	66
4.11	Sampel Hasil Akhir Erosi 90°	66
4.12	Sampel Pengambilan Data untuk <i>Adaptive Median Filter</i>	67
4.13	(a) Pengambilan Windowing 3 x 3 Pada t=1 (b) Pengurutan Nilai dan Pencarian Nilai Median, Minimum, dan Maksimum	68
4.14	Hasil Perhitungan <i>Adaptive Median Filter</i> dengan t=1	68
4.15	(a) Pengambilan Windowing 3 x 3 pada t=2 (b) Pengurutan Nilai dan Pencarian Nilai Median, Minimum, dan Maksimum	69
4.16	Hasil Perhitungan <i>Adaptive Median Filter</i> dengan t=2	69
4.17	(a) Pengambilan Windowing 3 x 3 pada t=2 (b) Pengurutan Nilai dan Pencarian Nilai Median, Minimum, dan Maksimum	70
4.18	Hasil Penambahan <i>Windowing</i> Menjadi 5 x 5	71
4.19	Hasil Akhir Perhitungan <i>Adaptive Median Filter</i> dengan Data Sampel	71
4.20	(a) Citra Awal (b) Hasil Akhir Proses <i>Dull Razor Filtering</i>	72
4.21	(a) Red Layer (b) Green Layer (c) Blue Layer	73
4.22	Simulasi Perhitungan Konversi RGB ke Grayscale	74
4.23	(a) Citra RGB (b) Citra <i>Grayscale</i>	74
4.24	(a) Windowing 3 x 3 (b) Nilai Median (c) Hasil Median Filter pada t=1	75
4.25	(a) Windowing 3 x 3 (b) Nilai Median (c) Hasil Median Filter pada t=2	75
4.26	(a) Windowing 3 x 3 (b) Nilai Median (c) Hasil Median Filter pada t=3	76
4.27	(a) Citra Awal (b) Citra Hasil <i>Median Filter</i>	77
4.28	Perhitungan Jumlah Tingkat Keabuan yang Ada Pada Suatu Citra . .	78

4.29	Perhitungan Probabilitas pada <i>Histogram Equalization</i>	79
4.30	Perhitungan Probabilitas Kumulatif pada <i>Histogram Equalization</i>	80
4.31	Perhitungan Nilai Pixel Baru pada <i>Histogram Equalization</i>	81
4.32	(a) Citra Awal (b) Hasil <i>Histogram Equalization</i>	82
4.33	(a) Simulasi Pembagian <i>Block</i> (b) Pengambilan Sampel <i>Block</i> (c) Nilai Pixel pada <i>Block</i> Pertama	83
4.34	Penambahan Zero Padding	84
4.35	<i>Masking</i> terhadap sumbu x pada $t=1$	85
4.36	<i>Masking</i> terhadap sumbu x pada $t=2$	85
4.37	Hasil <i>Masking</i> terhadap sumbu x (I_x)	86
4.38	<i>Masking</i> terhadap sumbu y pada $t=1$	86
4.39	<i>Masking</i> terhadap sumbu y pada $t=2$	86
4.40	Hasil <i>Masking</i> terhadap sumbu y (I_y)	87
4.41	<i>Gradient Magnitude</i> dan <i>Gradient Orientation</i> pada <i>Block</i> Pertama	89
4.42	Memasukkan Nilai Bin pada $t=1$	90
4.43	Memasukkan Nilai Bin pada $t=2$	90
4.44	Hasil Pemasukan Bin pada <i>Block</i> Pertama	91
4.45	Hasil Akhir <i>HOG Descriptor</i> pada <i>Block</i> Pertama	92
4.46	<i>Loading Screen</i> Aplikasi	113
4.47	Layar Utama Aplikasi	114
4.48	<i>Input Image</i>	115
4.49	Hasil Pre-processing pada Aplikasi	115
4.50	Hasil Akhir pada Aplikasi	116

globalisasi, era ini dipicu oleh teknologi yang berkembang pesat tanpa melihat dampak buruknya bagi lingkungan. Contoh kerugian akibat perkembangan teknologi tersebut adalah efek rumah kaca. Efek rumah kaca memiliki peran besar dalam pembentukan era globalisasi dengan merusak ozon perlahan-lahan (Cahyono , 2002). Proses terjadinya efek rumah kaca berawal dari radiasi matahari yang mengenai bumi namun gagal. Radiasi yang seharusnya diserap kembali oleh bumi, tapi terhalang oleh rumah kaca yang akan memantulkan kembali panas dari radiasi matahari menuju ozon sehingga dapat menipiskan lapisan tersebut. Penipisan ozon yang secara berkala ini dapat menyebabkan globalisasi (Meivana, Sulistiowati, dan Soejachmoen , 2004).

Pada era globalisasi, panas dan radiasi matahari langsung mengenai bumi yang seharusnya diserap oleh lapisan ozon sebanyak 93-99%. Namun, karena kapasitas ozon yang semakin menipis menyebabkan sinar *Ultra Violet*(UV) yang menuju bumi semakin besar dan dapat menyebabkan berbagai masalah bagi manusia salah satunya adalah penyakit kanker kulit(Thangavel , 2018). Kanker sendiri merupakan tumbuhnya sel yang ada pada tubuh secara tidak normal dan dapat mengganggu kinerja sel yang ada pada tubuh. Sedangkan kanker kulit merupakan pertumbuhan sel kulit yang tidak normal yang biasanya disebabkan oleh paparan sinar UV yang berlebihan (Cancer Council , 2016).

Pertumbuhan sel yang tidak normal memiliki dua macam yaitu *benign* (tumor jinak) dan *malignant* (tumor ganas). Pertumbuhan *benign* lebih lambat daripada *malignant* karena infeksi *malignant* lebih cepat merambat keseluruhan tubuh. *Benign* sendiri tidak mengancam nyawa manusia sehingga untuk kasus *benign* sangat jarang yang menimbulkan kematian. *Benign* juga tidak menyerang jaringan yang ada pada kulit dan tidak menyebar ke bagian lain dari manusia.

Benign bisa dihapus dan tidak bisa tumbuh lagi di tempat yang sama. Salah satu contoh *benign* adalah tahi lalat, sedangkan *malignant* dapat memicu kematian dengan kasus kematian yang bisa dikatakan tinggi. *Malignant* bisa menyerang jaringan lain dan dapat menyebar menuju jaringan yang lain. *Malignant* bisa saja dihapus namun akan terus tumbuh. Contoh *malignant* pada kulit adalah *Basal Cell Cancer*, *Squamous Cell Cancer*, dan *melanoma*(National Cancer Institute , 2006). Kanker kulit memiliki berbagai macam jenis kanker sel basal yang merupakan kanker kulit paling umum dan hanya menyebar di salah satu bagian tertentu. Kanker sel basal dimulai pada lapisan sel basal kulit. kanker ini biasanya terjadi pada kulit yang sering terpapar sinar matahari. Salah satu contoh tempat yang sering terjadi kanker sel basal adalah pada wajah karena sering kali terpapar sinar matahari (National Cancer Institute , 2006).(Cancer Council , 2016).

Selain kanker sel basal ada juga kanker sel skuamosa. Kanker sel skuamosa memiliki ciri-ciri berwarna merah, tidak menonjol, dan dapat menyebar jika tidak ditangani. Kanker sel skuamosa dimulai pada sel skuamosa. Kanker ini sering kali terjadi pada kaum berkulit hitam. Kanker ini kerap menyerap kulit yang jarang terpapar cahaya matahari seperti betis dan paha(Cancer Council , 2016)(National Cancer Institute , 2006). Jenis kanker kulit yang terakhir adalah melanoma yang merupakan kanker kulit paling ganas yang dapat menyebar kedalam organ dalam manusia seperti jaringan limfa dan jaringan hati. Melanoma dimulai pada melanosit (sel pigmen). Melanoma dapat terjadi pada permukaan kulit mana saja baik pria maupun wanita. Pada pria sering ditemukan pada kulit kepala dan leher atau antara bahu dan pinggul. Pada wanita sering ditemukan pada kulit kaki bagian bawah dan antara bahu dan pinggul. Melanoma jarang terjadi pada orang dengan kulit gelap dan bila terjadi pada orang dengan kulit gelap, biasanya ditemukan dibawah kaki

atau telapak tangan(Cancer Council , 2016)(National Cancer Institute , 2006).

World Health Organization(WHO) menyebutkan bahwa penderita kanker kulit terus meningkat dari tahun ke tahun pada tiap dekadenya. Terdapat sekitar 2-3 juta penderita kanker kulit non melanoma dan 132.000 pasien penderita penyakit kanker kulit melanoma(World Health Organization , 2016). Hal ini disebabkan oleh radiasi matahari yang semakin hari semakin besar dikarenakan penipisan lapisan ozon pada bumi. Berdasarkan data WHO tersebut perlu dilakukan deteksi dini sehingga pengobatan dapat dilakukan secepat mungkin tanpa ada jatuhnya korban jiwa. Penyakit apapun jika diketahui sebabnya secara dini akan dapat dilakukan pengobatan. Hal ini sudah diatur pada Al-Qur'an surat Asy-Syu'ara ayat 80 yang diperkuat oleh hadits riwayat bukhari yang berisi "Tidaklah Allah menurunkan penyakit kecuali Dia juga menurunkan penawarnya" yang berarti semua penyakit pasti terdapat obat ketika dapat ditangani secara benar dan dapat diidentifikasi secara dini. Berdasarkan hadits dan ayat Al-Qur'an tersebut, maka untuk menangani penyakit kanker kulit dapat dilakukan dengan deteksi dini penyakit ini.

Kanker kulit dapat diidentifikasi berdasarkan gejala-gejala yang disebabkan. Para dokter menyebut gejala kanker kulit ini sebagai "ABCDE" yang merupakan *Asymmetry*, *Border that is irregular*, *Color that is uneven*, *Diameter*, dan *Evolving*. *Asymmetry* atau tidak simetris menjelaskan bahwa bentuk yang muncul pada kulit tidak simetris atau lebih tepatnya abstrak. *Border that is irregular* menjelaskan bahwa tepi dari kanker tidak rata dan biasanya memiliki tekstur yang kasar dan kabur. *Color that is uneven* menjelaskan bahwa warna yang ada pada kanker tidak rata, dengan kata lain banyak perpaduan warna antara hitam, coklat, abu-abu, dan merah. *Diameter* menjelaskan bahwa diameter dari kanker

sekitar 6 milimeter sampai 0.25 inchi. Cara terakhir untuk mendeteksi kanker kulit adalah *Evolving* yang menjelaskan bahwa akan terjadi perubahan pada kanker setelah beberapa bulan terjangkau (American Cancer Society , 2007). Deteksi dini kanker kulit bisa dilakukan oleh dokter dengan melihat secara langsung berdasarkan fitur ABCDE, namun cara ini kurang efisien karena penglihatan seseorang bisa saja berbeda sehingga dibuatlah CAD untuk membantu pihak medis dalam mendeteksi kanker kulit. Pengidentifikasian kanker kulit bisa dilakukan melalui *Computer Aided Diagnosys(CAD) system* dengan melalui beberapa tahap seperti pengolahan citra digital, ekstraksi fitur, dan proses pengklasifikasian(Adyanti, Asyhar, Novitasari, et. al. , 2017). Pada penelitian ini sistem CAD yang digunakan adalah *preprocessing* yang berisi tentang pengolahan citra digital, proses ekstraksi fitur tuk mendapatkan parameter hasil *preprocessing*, dan klasifikasi untuk menentukan pasien yang terjangkau.

Tahap *preprocessing* digunakan untuk memperbaiki citra sehingga mempermudah proses pengidentifikasian fitur dari gambar yang digunakan. *Preprocessing* yang digunakan adalah *hair removal*, *noise removal*, *contrast enhancement*, *lesion segmentation*. Langkah-langkah ini berdasarkan penelitian yang pernah dilakukan oleh Dr. Abbas Hanon dkk (Albadra dan Tiun , 2017) Pada penelitian tersebut digunakanlah proses *hair removal* dengan menggunakan *dull razor filtering*, *noise removal* dengan menggunakan *median filtering*, *contrast enhancemet* dengan menggunakan *histogram equalization*, dan segmentasi dengan menggunakan *otsu thresholding*. Berdasarkan nilai hasil akurasi yang didapatkan yaitu sebesar 93%, maka proses yang digunakan sudah cukup baik sehingga *preprocessing* ini akan dipakai pada penelitian ini(Alasadi dan Alsafy , 2015).

Setelah fitur dari sebuah gambar didapatkan maka diperlukan sebuah

metode klasifikasi untuk menentukan gambar tersebut tergolong data kanker ataupun tidak. Metode yang akan digunakan adalah *Deep Extreme Learning Machine* (DELIM). DELIM merupakan pengembangan dari metode *Extreme Learning Machine*. DELIM dihasilkan dari penggabungan metode *Multilayer Extreme Learning Machine* (MLELM), *Kernel Extreme Learning Machine* (KELM), dan *Extreme Learning Machine Auto Encoding* (ELM-AE)(Ding, Zhang, Xu, Guo, dan Zhang , 2015). *Extreme Learning Machine* merupakan metode jaringan saraf tiruan dengan propagasi maju tanpa dilakukan propagasi mundur dan juga hanya memiliki satu *hidden layer* saja. ELM terkenal sebagai metode jaringan saraf tiruan yang terbilang cepat daripada metode jaringan saraf tiruan lainnya dikarenakan berbasis *single hidden layer*(Huang, Zhu, dan Siew , 2006). Ide awal dari ELM adalah perhitungan nilai parameter pada *hidden layer* seperti bias ataupun bobot yang tidak dibutuhkan dalam proses *learning*. Parameter tersebut dibangkitkan dengan cara melakukan *random* sehingga pada proses *learning* tidak memakan banyak waktu. Meskipun parameter dibentuk secara *random*, namun hasil klasifikasinya dapat dikatakan akurat dengan memiliki akurasi yang tinggi dan banyak peneliti yang memakai ini karena efisiensi waktu penggunaannya. Salah satu peneliti yang menggunakan metode ini adalah M. S. Sreekanth, R. Rajesh, dan J. Satheeshkumar dalam penelitiannya tentang mengklasifikasikan curah hujan dan badai petir dengan membandingkan metode SVM, ANN, dan ELM dengan akurasi terbaik didapat dengan menggunakan metode ELM sebesar 87.69% (Sreekanth, Rajesh dan Satheeshkumar , 2015).

Metode ELM memiliki beberapa kekurangan dalam mendeteksi data tertentu sehingga ELM dimodifikasi dengan menggunakan sebuah kernel agar ELM bisa mengklasifikasikan data dengan baik dengan kata lain memaksimalkan

peluang kebenaran dalam klasifikasi. Metode ELM yang digabungkan dengan kernel disebut *Kernel Extreme Learning Machine* (KELM). KELM pertama kali digagas oleh Huang dkk pada tahun 2010 dengan menerapkan beberapa fungsi kernel kedalam ELM dengan cara mensubstitusikan data yang sudah dilakukan proses kernel untuk diproses kedalam *hidden layer* ELM(Li, Rong, dan Li , 2014). Ide awal dari gagasan KELM adalah metode SVM. Huang dkk meneliti sisi baik SVM yang dilakukan proses kernel terlebih dahulu sebelum menuju proses learning SVM sehingga pembentukan garis hyperplane semakin akurat dalam membagi kedua kelas(Deng, Ong, dan Zheng , 2016). Berdasarkan hal tersebut dilakukan hal yang sama dengan melakukan proses kernel terlebih dahulu yang menghasilkan generalisasi parameter ELM yang lebih optimal. Hal ini menyebabkan proses *learning* pada ELM memiliki waktu yang lebih singkat karena lebih cepat mendapatkan bobot yang optimal. Penelitian mengenai KELM pernah dilakukan oleh Chen Chen dkk tentang klasifikasi spectral-spatial dari gambar hyperspectral. Penelitian tersebut membandingkan metode KELM dan SVM yang menghasilkan akurasi terbaik pada metode KELM. Pada penelitian tersebut juga membandingkan waktu *learning* antara kedua metode dengan perbandingan waktu antara SVM dengan KELM adalah 0.94s dan 0.23s. Berdasarkan hasil tersebut dapat disimpulkan bahwa KELM lebih cepat dan lebih akurat daripada SVM(Chen, Li, Su, dan Liu , 2014).

ELM pernah dilakukan modifikasi oleh Hinton dan Salakhutdinov pada tahun 2006 yang awalnya ELM hanya metode klasifikasi *single hidden layer* kemudian dimodifikasi sehingga menjadi *Multilayer Extreme Learning Machine* (ML-ELM). ML-ELM memiliki 2 proses yaitu *unsupervised learning* dan *supervised learning*. Berdasarkan pernyataan tersebut, metode *unsupervised*

learning yang dipakai adalah *Extreme learning Machine Auto Encoder* (ELM-AE). Proses pertama dalam metode ini adalah *unsupervised learning* dengan menggunakan metode ELM-AE untuk mendapatkan parameter ELM terbaik di setiap layer. Setelah didapatkan parameter ELM terbaik, maka dilakukan proses *fine-tuning* dengan menggunakan *supervised learning* yaitu metode ELM (Wen, Liu, Yan, dan Sun, 2018). Penelitian mengenai ML-ELM pernah diteliti oleh Lijuan Duan dkk mengenai klasifikasi sinyal EEG. Pada penelitian ini dibandingkan metode klasifikasi ML-ELM dengan metode lain seperti KNN dan bayes. Perbandingan hasil akurasi antara KNN, bayes, dan ML-ELM adalah 92.15%, 90.44%, dan 94.20% sehingga dapat disimpulkan bahwa berdasarkan paper tersebut metode klasifikasi yang paling baik untuk dipakai adalah ML-ELM (Duan, Bao, Miao Xu, dan Chen, 2016).

ML-ELM dan KELM merupakan bibit dari terbentuknya *Deep Extreme Learning Machine* (DELML). Penggabungan metode ML-ELM dan KELM ditujukan untuk mengoptimalkan proses *learning* pada ELM. Metode DELML merupakan salah satu metode *deep learning* yang cepat dalam melakukan proses *learning*. *Deep learning* merupakan *machine learning* yang digunakan pada kecerdasan buatan yang memberikan data input secara detail dengan meningkatkan ukuran neuron dan jumlah hidden layer pada proses *learning*. Peningkatan neuron dan jumlah *hidden layer* mempengaruhi proses *learning* sehingga *deep learning* memiliki proses *learning* yang lambat. Untuk mengatasi masalah ini, *deep learning* digabungkan dengan metode ELM sehingga mendapatkan metode DELML yang memiliki proses *learning* yang cepat dan efektif (Kutlu, 2018). Penelitian mengenai DELML pernah dilakukan oleh Shifei Ding dkk dengan membandingkan antara basic ELM, KELM, ML-ELM, dan DELML menggunakan data EEG,

data sedemikian sehingga rumusan masalah dapat terselesaikan. Bab ini biasanya terdiri dari jenis penelitian, subjek penelitian, data penelitian, teknik analisis data, dan lainnya sesuai dengan kebutuhan penelitian.

Bab IV Hasil Dan Pembahasan, Bab ini berisi tentang uraian hasil penelitian dan pembahasan dalam rangka untuk menjawab rumusan masalah yang telah diuraikan pada bab pendahuluan. Dalam penelitian ini diuraikan mengenai hasil dari *preprocessing*, hasil dari proses klasifikasi menggunakan DELM, dan analisis dari hasil yang diperoleh.

Bab V Penutup, Bab ini berisi tentang kesimpulan dari keseluruhan isi yang telah dibahas dan saran perluasan mengenai hasil penelitian dari analisis deteksi kanker kulit berdasarkan citra dengan menggunakan metode *Deep Extreme Learning Machine*.

direpresentasikan sebagai baris dan kolom pada matriks gambar analog. Sebagai contoh titik diskrit pada baris n dan kolom m disebut dengan piksel $[n, m]$ (Tim Dosen , 2016).

Citra digital merupakan citra dapat diproses ataupun diolah dengan suatu sistem komputer yang yang hasilnya berupa sebuah gambar analog. Proses pengolahan citra digital pada suatu sistem komputer dinamakan *Image Processing*. Citra digital tersusun atas elemen-elemen yang disebut piksel. Piksel tersusun dari kumpulan matriks dua dimensi dengan indeks baris dan kolom direpresentasikan oleh (x, y) yang merupakan bilangan bulat. Koordinat spasial x dan y dari f dalam fungsi $f(x, y)$. Nilai f menunjukkan nilai tingkat kecerahan atau tingkat keabuan dari suatu citra pada titik tersebut. Suatu citra digital dapat direpresentasikan dalam format $f(x, y) = f(N, M)$ dengan $0 \leq x \leq N - 1$ dan $0 \leq y \leq M - 1$. Kemudian kedua faktor tersebut dinyatakan dengan nilai L yang merupakan nilai maksimal warna intensitas dengan ketentuan $L = 0 \leq f(x, y) \leq L - 1$ Citra digital dibagi dalam tiga jenis, yaitu citra warna, citra *grayscale*, dan citra biner(Tim Dosen , 2016).

Citra *gray scale* merupakan citra skala keabuan dengan nilai intensitas maksimal 255 berwarna putih hingga warna hitam dengan nilai intensitas minimal 0. Pada nilai mendekati 0 tingkat keabuan sebuah citra semakin gelap, sedangkan pada nilai mendekati 255 memiliki intensitas keabuan yang semakin cerah. Citra biner merupakan citra yang hanya memiliki dua nilai derajat keabuan, yaitu 0 dan 1 sebagai representasi dari putih dan hitam. Piksel yang bernilai 1 merupakan piksel objek atau fitur dengan memiliki warna putih, dan piksel yang bernilai 0 adalah latar belakang yang memiliki warna hitam. Sedangkan citra warna atau yang biasa disebut citra RGB merupakan jenis citra yang menyajikan warna dalam

Proses klasifikasi akan menentukan seberapa besar keberhasilan dari penelitian ini. Tujuan utama dari proses klasifikasi adalah membagi data menjadi dua kelas untuk menentukan data tersebut terjangkau kanker kulit atau tidak. Setelah hasil klasifikasi didapatkan maka diperlukan proses perhitungan untuk menentukan akurasi yang didapat sehingga bisa diketahui berapa persen penelitian ini berhasil.

Alur penelitian tersebut memiliki tujuan yang akan dicapai yaitu mendapatkan hasil klasifikasi kanker kulit yang baik. Untuk mencapai tujuan tersebut maka diperlukan langkah-langkah pengerjaan yang terstruktur. Berdasarkan diagram alir tersebut bisa disimpulkan bahwa tahapan-tahapan penelitian tersebut adalah:

1. Mencari data kanker kulit dan non-kanker pada citra *dermoscopic*.
2. Mengubah data citra RGB menjadi grayscale pada Persamaan 2.1.
3. Menghapus fitur rambut dengan menggunakan *Dull Razor Filtering*.
4. Menghapus noise yang ada pada citra dengan menggunakan *median filter* dengan menggunakan persamaan 2.2.
5. Meningkatkan kualitas citra dengan menggunakan *histogram equalization* dengan Persamaan 2.3.
6. Melakukan *feature descriptor* dengan menggunakan metode HOG dengan menggunakan Persamaan 2.6.
7. Melakukan proses training untuk mendapatkan β output dan parameter DELM lainnya.

Tabel 4.2 Hasil Akhir *HOG Descriptor* Semua Citra Citra

Data	Fitur 1	Fitur 2	Fitur 3	Fitur 4	...	Fitur 81	Kelas
Data 1	0.9149	0.2891	0.0287	0.1061	...	0.0528	Normal
Data 2	0.8895	0.3169	0.0129	0.1488	...	0.0680	
⋮	⋮	⋮	⋮	⋮	⋮	...	
Data 1000	0.9355	0.2478	0.0230	0.1083	...	0.1271	
Data 1001	0.8923	0.2701	0.0476	0.0882	...	0.0702	Kanker
Data 1002	0.9396	0.2135	0.0436	0.0848	...	0.0874	
⋮	⋮	⋮	⋮	⋮	⋮	⋮	
Data 2000	0.9270	0.2806	0.0485	0.0930	...	0.2412	

4.3. Deep Extreme Learning Machine

Fitur yang telah didapatkan akan dimasukkan dalam suatu sistem *Deep Extreme Learning Machine*. Proses *Deep Extreme Learning Machine* memiliki beberapa tahap dalam proses *learning*-nya. Tahapan *learning* pada *Deep Extreme Learning* meliputi Mendapatkan *Learned Parameter*, *K-Fold Cross Validation*, *Training*, dan *Testing*. Proses pertama adalah mendapatkan *learned parameter*. Tahap ini bertujuan untuk memperbaiki parameter yang sudah ada sehingga lebih mudah untuk mengenali pola. Metode yang dipakai dalam *learned parameter* adalah *Restricted ELM-AE* yang membentuk MLELM. Tahapan selanjutnya adalah *K-Fold Cross Validation* yang berguna untuk memisahkan data training dan data testing. Proses selanjutnya adalah proses *training* untuk mendapatkan nilai bobot output (β) dan dilanjutkan dengan proses *testing* untuk mendapatkan hasil klasifikasi.

- And Technology Interdisciplinary*, 12(11), 14–19. Retrieved From <https://Globaljournals.Org/GjstVolume12/2-Multiclass-Classification-And.Pdf>
- AlAsadi, A. H. H., dan AL-Safy, B. M. R. (2016). *Early detection and classification of melanoma skin cancer*. LAP LAMBERT Academic Publishing.
- Ali, S. K. (2018). Diagnosis Retinopathy Disease Using GLCM And ANN. *Journal of Theoretical and Applied Information Technology (JATIT)*, 6028-6040.
- American Cancer Society. (2007). *Melanoma Skin Cancer Early Detection, Diagnosis, And Staging*, 1–21. American Cancer Society Report.
- Al-Amin, M., Alam, M. B., dan Mia, M. R. (2015). Detection of Cancerous and Non-cancerous Skin by using GLCM Matrix and Neural Network Classifier. *International Journal of Computer Applications*, 132(8), 44.
- Anggoro, W. (2016). Implementasi Ekstraksi Fitur Tekstur Gray Level Co-Occurrence Matrices (GLCM) untuk Pengelompokkan Citra Tenun Menggunakan Algoritma K-Means. *Semarang: Jurusan Teknik Informatika, FIK UDINUS*.
- Atika, R., Suciati, F. N., dan Navastara, D. A. (2016). Implementasi Metode Kombinasi Histogram of Oriented Gradient Dan Hierarchical Centroid Untuk Sketch Based Image Retrieval. *Jurnal Teknis ITS*.
- Berkant, B. (2015). Implementation Of HOG Edge Detector Algorithm Onfpga's. *Procedia - Social and Behavioral Science*, 1567–1575.
- Bino, S. V. (2012). Grey Level Co-Occurrence Matrices: Generalisation And Some New Features. *International Journal Of Computer*

Science, Engineering And Information Technology, 2(2), 151–157.
<https://doi.org/10.5121/Ijcseit.2012.2213>

- Biswas, S., dan Ghoshal, D. (2016). Blood Cell Detection Using Thresholding Estimation Based Watershed Transformation with Sobel Filter in Frequency Domain. *Procedia Computer Science*, 89, 651–657. <https://doi.org/10.1016/j.procs.2016.06.029>
- Brantsch, K. D., Meisner, C., Schönfisch, B., Trilling, B., Wehner-Caroli, J., Röcken, M., dan Breuninger, H. (2008). Analysis of risk factors determining prognosis of cutaneous squamous-cell carcinoma: a prospective study. *The lancet oncology*, 9(8), 713-720.
- Cahyono, W. E. (2010). Urgensi Menjaga Lapisan Ozon Bagi Penghuni Bumi. *Berita Dirgantara*, 8(2).
- Cancer Council. (2016). Understanding Skin Cancer. *SOS Print and Media Group*.
- Cerna, L. R., dan Menotti, D. (2010). Cerna, L. R., Cámara-Chávez, G., dan Menotti, D. (2013). Face detection: Histogram of oriented gradients and bag of feature method. In *Proceedings of the International Conference on Image Processing, Computer Vision, and Pattern Recognition (IPCV)* (p. 1). The Steering Committee of The World Congress in Computer Science, Computer Engineering and Applied Computing (WorldComp).
- Chen, C., Li, W., Su, H., dan Liu, K. (2014). Spectral-spatial classification of hyperspectral image based on kernel extreme learning machine. *Remote Sensing*, 6(6), 5795-5814.
- Chen, W. R., Bin, J., Lu, H. M., Zhang, Z. M., dan Liang, Y. Z. (2016). Calibration

- transfer via an extreme learning machine auto-encoder. *Analyst*, 141(6), 1973-1980.
- Choudhari, S., dan Biday, S. (2014). Artificial Neural Network for SkinCancer Detection. *International Journal of Emerging Trends and Technology in Computer Science (IJETTCS)*, 3(5), 147–153.
- Churchill, M. (2013). Histogram of Oriented Gradients for Detection of Multiple Scene. *International Conference on Computer Vision and Pattern Recognition*.
- Dalal, N., dan Triggs, B. (2012). Histograms of Oriented Gradients for Human Detection. *International Conference on Computer Vision and Pattern Recognition*, 886–893.
- Deng, W. Y., Ong, Y. S., dan Zheng, Q. H. (2016). A fast reduced kernel extreme learning machine. *Neural Networks Journals*, 76, 29-38.
- Ding, S., Zhang, N., Xu, X., Guo, L., dan Zhang, J. (2015). Deep extreme learning machine and its application in EEG classification. *Mathematical Problems in Engineering*.
- Dongping, L. (2018). Automatic Detection Of Cardiovascular Disease Using Deep Kernel Extreme, 30(4), 1–10. <https://doi.org/10.4015/S1016237218500382>
- Duan, L., Bao, M., Miao, J., Xu, Y., dan Chen, J. (2016). Classification Based on Multilayer Extreme Learning Machine for Motor Imagery Task from EEG signals. *Procedia - Procedia Computer Science*, 88, 176–184. <https://doi.org/10.1016/j.procs.2016.07.422>
- Emmons, K. M., Geller, A. C., Puleo, E., Savadatti, S. S., Hu, S. W., Gorham, S., ... dan Group, D. F. S. C. S. (2011). Skin cancer education and early detection at the

- beach: a randomized trial of dermatologist examination and biometric feedback. *Journal of the American Academy of Dermatology*, 64(2), 282-289.
- Fayaz, M., dan Kim, D. (2018). A prediction methodology of energy consumption based on deep extreme learning machine and comparative analysis in residential buildings. *Electronics Journal*, 7(10), 222.
- Fradkin, D., dan Muchnik, I. (2006). Support vector machines for classification. *DIMACS Series in Discrete Mathematics and Theoretical Computer Science*, 70, 13-20.
- Fuchs, E., dan Raghavan, S. (2002). Getting under the skin of epidermal morphogenesis. *Nature Reviews Genetics*, 3(3), 199.
- Gao, Z., Ma, C., She, Z., dan Dong, X. U. (2018). An Enhanced Deep Extreme Learning Machine for Integrated Modular Avionics Health State Estimation. *IEEE Access*, 6, 65813–65823. <https://doi.org/10.1109/ACCESS.2018.2878813>
- Gopinath, N. (2011). Graph Based Image Segmentation Method for Identification of Cancer in Prostate MRI Image. *Journal of Computer Applications (JCA)*, 4(4), 2011.
- Guo, X., Pang, Y., Yan, G., dan Qiao, T. (2017, May). Time series forecasting based on deep extreme learning machine. In *2017 29th Chinese Control And Decision Conference (CCDC)* (pp. 6151-6156). IEEE.
- Hamdi, S. (2018). Object Detection Using Histogram, *Al Akhawayn University*. 1–52.
- Hoshyar, A. N. dan Al-Jumaily, A. (2014). The beneficial techniques in

- preprocessing step of skin cancer detection system comparing. *Procedia Computer Science*, 42(C), 25–31. <https://doi.org/10.1016/j.procs.2014.11.029>
- Huang, A., Kwan, S. Y., Chang, W. Y., Liu, M. Y., Chi, M. H., dan Chen, G. S. (2013). A robust hair segmentation and removal approach for clinical images of skin lesions. *Proceedings of the Annual International Conference of the IEEE Engineering in Medicine and Biology Society, EMBS*, (July), 3315–3318. <https://doi.org/10.1109/EMBC.2013.6610250>
- Huang, G. B., Zhu, Q., dan Siew C. K. (2006). Extreme Learning Machine: theory and Applications. *Journal Neurocomputing*, 70(1): 489-501
- Huang, W., Li, N., Lin, Z., Huang, G. B., Zong, W., Zhou, J., dan Duan, Y. (2013, July). Liver tumor detection and segmentation using kernel-based extreme learning machine. In *2013 35th Annual International Conference of the IEEE Engineering in Medicine and Biology Society (EMBC)* (pp. 3662-3665). IEEE.
- Ibrahim, W., dan Abadeh, M. S. (2017). Extracting features from protein sequences to improve deep extreme learning machine for protein fold recognition. *Journal of theoretical biology*, 421, 1-15.
- ISIC Archive. (2018). The International Skin Imaging Archive. Retrieved 17 August 2019, from isic-archive.com/!/topWithHeader/wideContentTop/main
- Ismaeel, S., Miri, A., dan Chourishi, D. (2015, May). Using the extreme learning machine (ELM) technique for heart disease diagnosis. In *2015 IEEE Canada International Humanitarian Technology Conference (IHTC2015)* (pp. 1-3). IEEE.
- Johnson, T. M., Dolan, O. M., Hamilton, T. A., Lu, M. C., Swanson, N. A., dan

- Lowe, L. (1998). Clinical and histologic trends of melanoma. *Journal of the American Academy of Dermatology*, 38(5), 681-686.
- Jong, W. D. (2005). Kanker, Apakah Itu? Pengobatan, Harapan Hidup, dan Dukungan Keluarga, *Jakarta: Arcan*.
- Kutlu, Y. (2018). Superiorities of Deep Extreme Learning Machines against Convolutional Neural Networks. *Natural and Engineering Sciences*, 103-109.
- Le, B. T., dan Xiao, D. (2018). Coal Exploration Based on a Multilayer Extreme Learning Machine and Satellite Images. *IEEE Access*, PP(c), 1. <https://doi.org/10.1109/ACCESS.2018.2860278>
- Li, B., Rong, X., dan Li, Y. (2014). An improved kernel based extreme learning machine for robot execution failures. *The Scientific World Journal*.
- Liu, D., dan Yu, J. (2009). Otsu method and K-means. *Proceedings - 2009 9th International Conference on Hybrid Intelligent Systems, HIS 2009*, 1(2), 344-349. <https://doi.org/10.1109/HIS.2009.74>
- Mallick, S. (2016). Histogram Of Oriented Gradients. Retrieved 9 September 2019, from <https://www.learnopencv.com/histogram-of-oriented-gradients/>
- Mao, W., He, J., Li, Y., dan Yan, Y. (2017). Bearing fault diagnosis with auto-encoder extreme learning machine: A comparative study. *Proceedings of the Institution of Mechanical Engineers, Part C: Journal of Mechanical Engineering Science*, 231(8), 1560-1578.
- Meiviana, A., Sulistiowati, D. R., dan Soejachmoen, M. H. (2004). Bumi Makin Panas Ancaman Perubahan Iklim Di Indonesia. *Jakarta: Kementerian Lingkungan Hidup Republik Indonesia*.

- Mohanaiah, P., Sathyanarayana, P., dan Gurukumar, L. (2013). Image Texture Feature Extraction Using Glcm Approach. *International Journal Of Scientific dan Research Publication*, 3(5), 1–5. <https://doi.org/10.1.1.414.96981>
- Møller, R., Reymann, F., dan Hou-Jensen, K. (1979). Metastases in dermatological patients with squamous cell carcinoma. *Archives of dermatology*, 115(6), 703-705.
- Mustafa, S., Dauda, A. B., dan Dauda, M. (2017, October). Image Processing and SVM classification for melanoma detection. In *2017 International Conference on Computing Networking and Informatics (ICCNI)* (pp. 1-5). IEEE.
- National Cancer Institute (2006). What You Need To Know About Melanoma And Other Skin Cancer. *National Cancer Institute*.
- Ngafifi, M., dan Ngafifi, M. (2014). Advances in Technology and Patterns of Human Life in Socio-Cultural Perspective. *J. Pembang. Pendidik. Fondasi dan Apl*, 2(1), 33-47.
- Öztürk, Ş., dan Akdemir, B. (2018). Application Of Feature Extraction And Classification Methods For Histopathological Image Using Glcm, Lbp, Lbglcm, Glrlm And Sfta. *Procedia Computer Science*, 132(June), 40–46. <https://doi.org/10.1016/J.Procs.2018.05.057>
- Pandjaitan, L. W. (2007). *Dasar-Dasar Komputasi Cerdas*. Yogyakarta:Andi
- Pathak, B., dan Barooah, D. (2013). Texture Analysis Based On The Gray-Level Co-Occurrence Martix Considering Possible Orientations. *International Journal Of Advanced Research In Electrical, Electronics*

- And Instrumentation Engineering*, 2(9), 4206–4212. Retrieved From <Http://Www.Ijareeie.Com/Upload/2013/September/7-Texture.Pdf>
- Radha R, Rajendiran P (2013). Using K-Means Clustering Technique To Study Of Breast Cancer, *Congress On Computing and Communication Technologies*.
- Rejani, Y., dan Selvi, S. T. (2009). Early detection of breast cancer using SVM classifier technique. *arXiv preprint arXiv:0912.2314*.
- Roul, R. K. (2018). Detecting spam web pages using multilayer extreme learning machine. *International Journal of Big Data Intelligence*, 5(1-2), 49-61.
- Roul, R. K., Rohan, S., dan Gaurav, A. (2016). Study on suitability and importance of multilayer extreme learning machine for classification of text data. *Soft Computing*. <https://doi.org/10.1007/s00500-016-2189-8>
- Santi, C. N. (2011). Mengubah Citra Berwarna Menjadi GrayScale dan Citra biner. *Jurnal Teknologi Informasi Dinamik*, 16(1), 14-19.
- Satheesha, T. Y., Satyanarayana, D., dan Giriprasad, M. N. (2014). A Pixel Interpolation Technique for curved hair removal in skin images to support melanoma detection. *Journal of Theoretical and Applied Information Technology*, 70(3), 559–565.
- Scherer, D., dan Kumar, R. (2010). Genetics of pigmentation in skin cancer—a review. *Mutation Research/Reviews in Mutation Research*, 705(2), 141-153.
- Setiawan, D. (2018). Dampak Perkembangan Teknologi Informasi dan Komunikasi Terhadap Budaya. *JURNAL SIMBOLIKA: Research and Learning in Communication Study*, 4(1), 62-72.

- Sreekanth, M. S., Rajesh, R., dan Satheeshkumar, J. (2015). Extreme learning machine for the classification of rainfall and thunderstorm. *Journal of Applied Sciences*, 15(1), 153–156. <https://doi.org/10.3923/jas.2015.153.156>
- Sun, K., Zhang, J., Zhang, C., dan Hu, J. (2016). Generalized Extreme Learning Machine Autoencoder And A New Deep Neural Network. *Neurocomputing*, 1–22. <https://doi.org/10.1016/j.neucom.2016.12.027>
- Lee, T., Ng, V., Gallagher, R., Coldman, A., dan McLean, D. (1997). Dullrazor®: A software approach to hair removal from images. *Computers in biology and medicine*, 27(6), 533-543.
- Inasawa, S., Suzuki, R., Qian, E. W., Kitajima, T., dan Yamashita, Y. (2011). Ozone layer depletion and its effects: a review. *International Journal of Environmental Science and Development*, 2, 30-37.
- Tim Dosen. (2016). *Pengolahan Citra*. Jakarta: Universitas Mercu Buana.
- Vázquez, D., Lopez, A., dan Ponsa, D. (2013). *Domain adaptation of virtual and real worlds for pedestrian detection* (Doctoral dissertation, Dissertation, Universitat de Barcelona, Spain).
- Visa, S., Ramsay, B., Ralescu, A., dan Van Der Knaap, E. (2011). Confusion Matrix-Based Feature Selection. *Ceur Workshop Proceedings*, 710, 120–127. <https://doi.org/10.1.1.666.8961>
- Wahyudi, E., Triyanto, D., dan Ruslianto, I. (2017). Identifikasi Teks Dokumen Menggunakan Metode Profile Projection dan Template Matching. *Jurnal Coding, Sistem Komputer Untan*, 03(2), 1-10.

- Wang, F., Zhang, B., Chai, S., dan Xia, Y. (2018). Community detection in complex networks using deep auto-encoded extreme learning machine. *Modern Physics Letters B*, 32(16), 1850180.
- Wang, X., dan Han, M. (2014, July). Multivariate time series prediction based on multiple kernel extreme learning machine. In *2014 international joint conference on neural networks (IJCNN)* (pp. 198-201). IEEE.
- Wen, X., Liu, H., Yan, G., dan Sun, F. (2018). Weakly paired multimodal fusion using multilayer extreme learning machine. *Soft Computing*, 22(11), 3533-3544.
- World Health Organization. (2016). Skin Cancers. Retrieved 13 August 2019, from <https://www.who.int/uv/faq/skincancer/en/index1.html>
- Wulandini, F., dan Nugroho, A. N. (2009). Text Classification Using Support Vector Machine for Web mining Based Spation Temporal Analysis of the Spread of Tropical Diseases. In *International Conference on Rural Information and Communication Technology* (pp. 189-192).
- Yousefi, J. (2011). Image Binarization using Otsu Thresholding Algorithm. *University of Guelph, Ontario, Canada*.
- Zaqout, I. S. (2016). Diagnosis of Skin Lesions Based on Dermoscopic Images Using Image Processing Techniques. *International Journal of Signal Processing, Image Processing and Pattern Recognition*, 9(9), 189–204. <https://doi.org/10.14257/ijcip.2016.9.9.18>
- Zhao, D., Huang, C., Wei, Y., Yu, F., Wang, M., dan Chen, H. (2016). An Effective Computational Model for Bankruptcy Prediction Using Kernel Extreme Learning

